

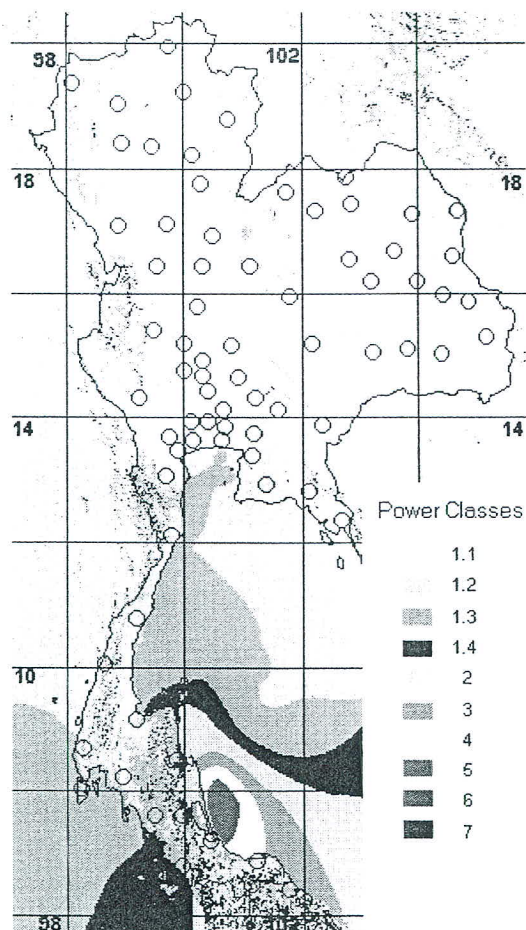
บทที่ 2

ทฤษฎีและงานวิจัยที่เกี่ยวข้อง

จากการศึกษาทฤษฎีและงานวิจัยเกี่ยวกับกังหันลมผลิตไฟฟ้าและสูบน้ำความเร็วรอบตัวประกอบด้วย ลมในประเทศไทย ประเภทของกังหันลม ส่วนประกอบของกังหันลม ทฤษฎีอากาศ พลศาสตร์ ทฤษฎีเบื้องต้นของเครื่องกำเนิดไฟฟ้า รวมถึงงานวิจัยที่เกี่ยวข้อง มีรายละเอียดดังนี้

1. ลมในประเทศไทย

จากข้อมูลดังภาพที่ 1 จะเห็นได้ว่าพลังงานลมในประเทศไทยโดยส่วนใหญ่จะเป็นลม ความเร็วต่ำ ซึ่งถ้าสามารถนำพลังงานลมความเร็วต่ำนี้มาใช้งานเพื่อการสูบน้ำและผลิตกระแสไฟฟ้า ได้ ก็จะเป็นประโยชน์มาก [1,2]



ภาพที่ 1 ศักยภาพของพลังงานลมในประเทศไทย [1, 2]

2 ประเภทของกังหันลม

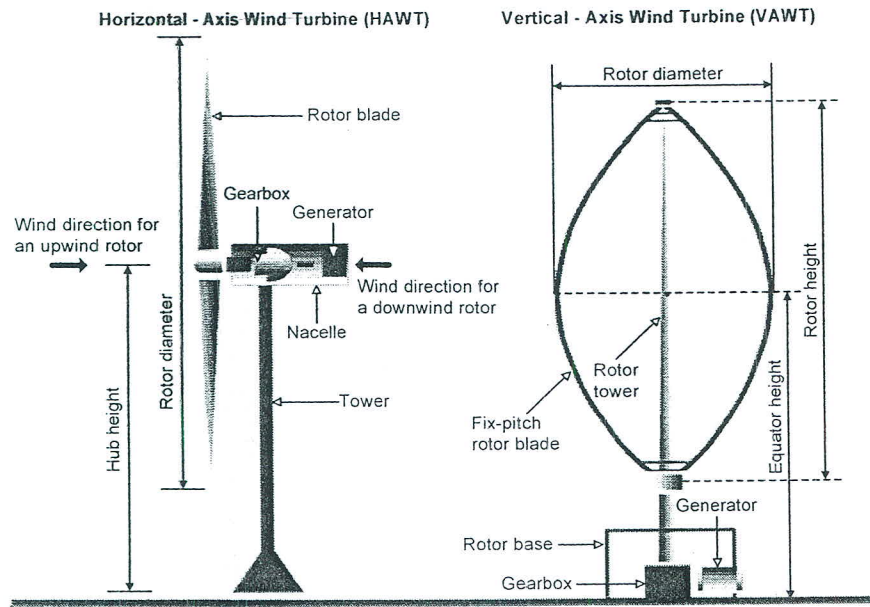
กังหันลมโดยทั่วไปจะมีรูปแบบพื้นฐานหลัก ๆ คล้าย ๆ กัน แต่อาจแตกต่างกันบ้างในส่วนของรายละเอียด การแบ่งประเภทของกังหันลมมักจะขึ้นอยู่กับลักษณะการวางตัวของแกนเพลาของ กังหันลมเป็นหลัก ซึ่งประเภทหลักๆ ของกังหันลมสามารถแบ่งออกได้เป็น 2 ประเภท คือ กังหันลมที่มีแกนเพลาอยู่ในแนวนอนและกังหันลมที่มีแกนเพลาอยู่ในแนวตั้ง ดังแสดงตัวอย่างในภาพที่ 2

2.1 กังหันลมที่มีแกนเพลาอยู่ในแนวนอน (horizontal-axis type wind turbine, HAWT) เป็นกังหันลมที่มีแกนหมุนวงตัวอยู่ในทิศทางกับทิศทางของลม โดยมีใบเป็นตัวตั้งจักรับแรงลม กังหันลมประเภทนี้ ได้รับการพัฒนาอย่างต่อเนื่องและมีการนำมาใช้งานมากในปัจจุบัน เนื่องจากมีประสิทธิภาพในการเปลี่ยนพลังงานสูงแต่ต้องติดตั้งบนเสาที่มีความสูงมาก มีชุดควบคุมให้กังหันลม หันหน้าเข้ารับแรงลม ได้ทุกทิศทางในแนวนอนตลอดเวลา อย่างไรก็ตามในรายละเอียดของรูปแบบ องค์ประกอบ และลักษณะการทำงานของกังหันลมแบบนี้ที่นิยมใช้กันสามารถแบ่งออกเป็น 3 แบบ [7, 12, 13] ได้แก่

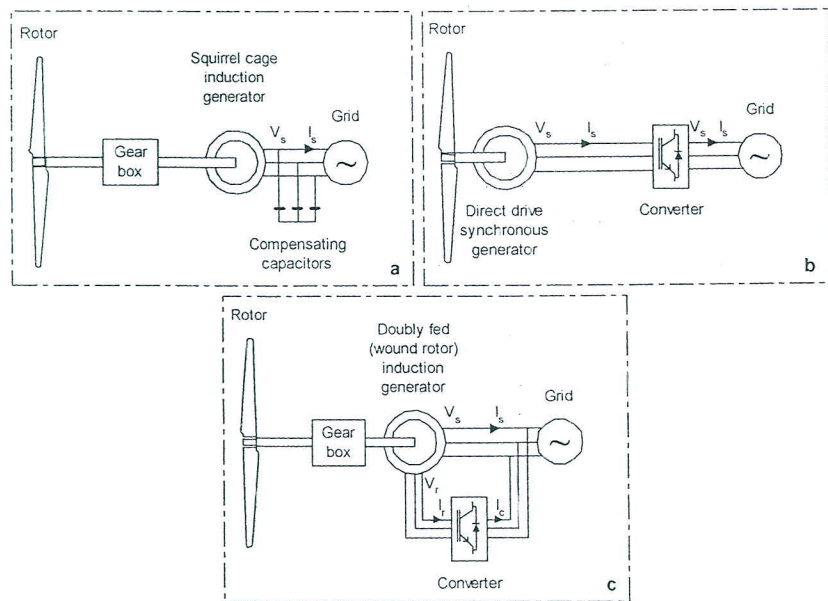
2.1.1 กังหันลมแบบความเร็วคงที่ (fixed speed turbine) กังหันลมชนิดนี้ประกอบไปด้วย ใบพัด กล่องเกียร์ ซึ่งเชื่อมต่อกับเครื่องกำเนิดไฟฟ้ากระแสสลับแบบเหนี่ยวนำ (squirrel cage induction generator) ชุดสเตเตอร์ของเครื่องกำเนิดไฟฟ้าต่อเชื่อมเข้ากับระบบสายส่งไฟฟ้า ดังแสดงในภาพที่ 3 a ในความเป็นจริงแล้วกังหันลมแบบนี้มีค่าสลิปของเครื่องกำเนิดไฟฟ้า (generator slip) ไม่คงที่ซึ่งจะขึ้นอยู่กับการเปลี่ยนแปลงของกำลังเครื่องกำเนิดไฟฟ้า อย่างไรก็ตามการเปลี่ยนแปลงนี้มีค่าน้อยมาก เพียง 1 – 2 เปลอร์เซนต์ ดังนั้นจึงเรียกว่ากังหันลมแบบนี้ว่าเป็นแบบความเร็วคงที่

2.1.2 กังหันลมแบบความเร็วไม่คงที่ (variable speed turbine) กังหันลมชนิดนี้ประกอบไปด้วย ใบพัด กล่องเกียร์ เชื่อมต่อกับเครื่องกำเนิดไฟฟ้ากระแสสลับแบบเหนี่ยวนำแบบดับเบิลเฟด (doubly fed induction generator) เครื่องเปลี่ยนกระแสไฟฟ้า ชุดสเตเตอร์ต่อเชื่อมเข้ากับระบบสายส่งไฟฟ้า กังหันลมชนิดนี้ความเร็วของเครื่องกำเนิดไฟฟ้าสามารถเปลี่ยนแปลงได้ โดยเครื่องเปลี่ยนกระแสไฟฟ้า ดังนั้นจึงสามารถปรับความเร็วของเครื่องกำเนิดไฟฟ้าตามความต้องการได้ องค์ประกอบของกังหันลมแบบความเร็วไม่คงที่ดังแสดงในภาพที่ 3 b

2.1.3 กังหันลมแบบความเร็วไม่คงที่ชนิดต่อตรง (variable speed with direct drive) กังหันลมชนิดนี้ประกอบไปด้วย ใบพัด เชื่อมต่อกับเครื่องกำเนิดไฟฟ้าแบบซิงโครนัสโดยตรงและมีเครื่องเปลี่ยนกระแสไฟฟ้า สำหรับการควบคุมความเร็วของเครื่องกำเนิดไฟฟ้า องค์ประกอบของ กังหันลมแบบความเร็วไม่คงที่ชนิดต่อตรงดังแสดงในภาพที่ 3 c



ภาพที่ 2 กังหันลมผลิตไฟฟ้าแบบแกนนอนและแบบแกนตั้ง [7]



ภาพที่ 3 องค์ประกอบกังหันลมแบบความเร็วคงที่ (a) กังหันลมแบบความเร็วไม่คงที่ (b)
และกังหันลมแบบความเร็วไม่คงที่ชนิดต่อตัว (c) [7]

2.2 กังหันลมที่มีแกนเพลาอยู่ในแนวตั้ง (vertical-axis type wind turbine, VAWT) เป็นกังหันลมที่มีแกนหมุนตั้งฉากกับทิศทางของลม ซึ่งสามารถรับลมได้ทุกทิศทางและติดตั้งอยู่ในระดับต่ำได้ กังหันลมแบบนี้ที่รู้จักกันดีคือกังหันลมแบบแดรรีเยอส์ (darrieus) ซึ่งออกแบบโดยวิศวกรชาวฝรั่งเศสในปี ค.ศ. 1920 ข้อดีของกังหันลมแกนตั้งคือ สามารถรับลมได้ทุกทิศทาง มีชุดปรับความเร็ว (gear box) และเครื่องกำเนิดไฟฟ้า สามารถติดตั้งอยู่ที่ระดับพื้นถ่างได้ นอกจากนี้ตัวสาขอกังหันลมยังไม่สูงมากนัก แต่มีข้อเสีย คือ ประสิทธิภาพต่ำเมื่อเทียบกับกังหันลมที่มีแกนเพลาแบบแกนนอนดังนี้ในปัจจุบันจึงมีการใช้งานอยู่น้อย

3. ส่วนประกอบของกังหันลม

กังหันลมโดยทั่วไปจะประกอบด้วยส่วนประกอบหลัก ๆ คือ ใบพัด ระบบถ่ายทอดกำลังจากใบพัด ชุดควบคุมการบังคับทิศทางของใบพัดและเสาหรือหอคอย อย่างไรก็ตามในส่วนรายละเอียดของส่วนประกอบของกังหันลมจะขึ้นอยู่กับวัสดุประสงค์การใช้งานของกังหันลมนั้น เช่น ถ้าเป็นกังหันลมที่มีวัตถุประสงค์เพื่อการผลิตไฟฟ้าก็จะมีส่วนประกอบ รายละเอียด และเทคโนโลยีที่ซับซ้อนกว่ากังหันลมที่ใช้สำหรับการสูบน้ำ อย่างไรก็ตามเพื่อให้เกิดความเข้าใจในความแตกต่างของส่วนประกอบของกังหันลมแต่ละชนิด ในที่นี้จึงขอแยกกล่าวถึงส่วนประกอบของกังหันลมตามวัตถุประสงค์การใช้งานเป็น 2 กรณีคือ

3.1 ส่วนประกอบของกังหันลมเพื่อการผลิตไฟฟ้า จากการได้รับประโภชน์อย่างชัดเจนในการใช้กังหันลมเพื่อการผลิตไฟฟ้า ทำให้เทคโนโลยีของกังหันลมประเภทนี้ได้รับการพัฒนาใหม่ี ประสิทธิภาพสูงขึ้นเรื่อยๆ จึงทำให้ส่วนประกอบต่างๆ ของกังหันลมประเภทนี้มีค่อนข้างมากและมีความซับซ้อน ดังแสดงในภาพที่ 4 ดังต่อไปนี้ [14]

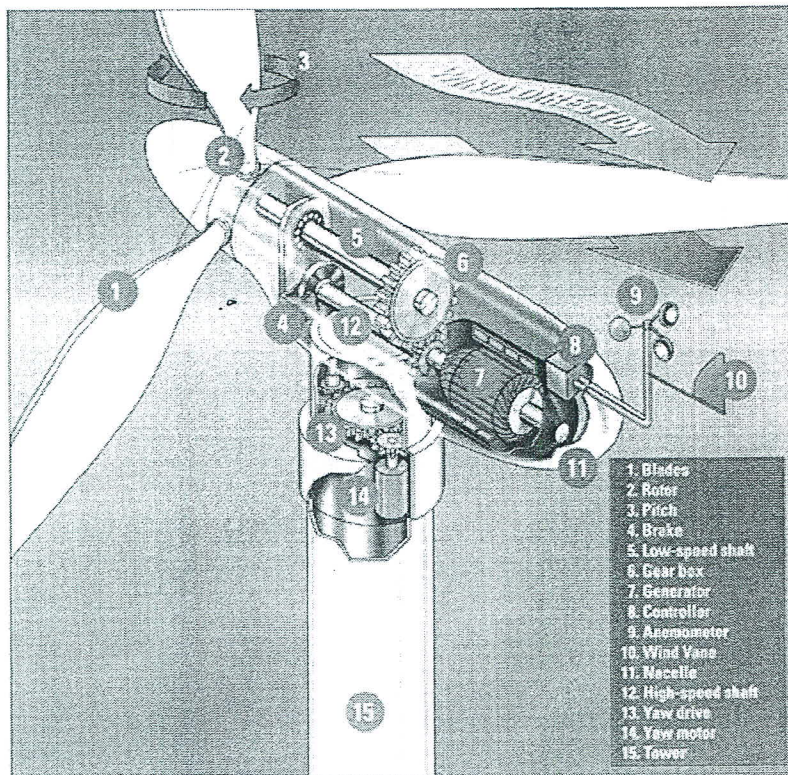
3.1.1 ใบพัด (blade) เป็นตัวรับพลังงานลมและเปลี่ยนให้เป็นพลังงานกลใน การขับเคลื่อนเพลาแกนหมุน (rotor) ของใบพัด โดยใบพัดสามารถปรับทิศทางการรับลมได้

3.1.2 ระบบเบรก (brake) เป็นส่วนที่ใช้ควบคุมการหยุดหมุนของใบพัดและเพลาแกนหมุนของกังหันลม

3.1.3 คันบังคับเพลาแกนหมุน (low speed shaft และ high speed shaft) เป็นส่วนที่ถอยควบคุมความเร็วของเพลาแกนหมุนให้หมุนช้าหรือเร็วของใบพัด และส่งผ่านระบบส่งกำลัง

3.1.4 ห้องส่งกำลัง (gear box) เป็นระบบที่ถอยปรับเปลี่ยนและควบคุมความสัมพันธ์ของความเร็วในการหมุนระหว่างเพลาแกนหมุนกับเพลาของเครื่องกำเนิดไฟฟ้า

3.1.5 เครื่องกำเนิดไฟฟ้า (generator) ทำหน้าที่เปลี่ยนพลังงานกลที่ถูกส่งมาจากการเพลาแกนหมุนของใบพัดเป็นพลังงานไฟฟ้า



ภาพที่ 4 ตัวอย่างส่วนประกอบของกังหันลมเพื่อการผลิตไฟฟ้า [14]

3.1.6 ตัวควบคุม (controller) ทำหน้าที่ควบคุมการทำงานเครื่องวัดความเร็วลม

3.1.7 ห้องเครื่อง (nacelle) เป็นห้องควบคุมขนาดใหญ่ อยู่ส่วนหลังของใบพัด ใช้บรรจุระบบต่างๆ เช่น ระบบเกียร์ เครื่องกำเนิดไฟฟ้า ระบบเบรก และระบบควบคุม

3.1.8 แกนคอหมุนรับทิศทางลม (yaw drive) เป็นตัวควบคุมการหมุนของห้องเครื่อง เพื่อให้ใบพัดปรับรับทิศทางลม โดยมีมอเตอร์ (yaw motor) เป็นตัวช่วยในการปรับทิศทาง

3.1.9 เสาหรือหอคอย (tower) เป็นส่วนที่แบนกรันอุปกรณ์ทั้งหมดที่อยู่ข้างบน

นอกจากนี้ยังคงมีระบบไฮดรอลิก (hydraulic system) ที่จะช่วยในการซ่อมแซม การหมุนและการหยุดหมุนของใบพัด ระบบระบายความร้อน (cooling system) มีไว้สำหรับการระบายความร้อนจากการทำงานของระบบซึ่งเกิดความร้อนจากการทำงานอย่างต่อเนื่อง และมีชุดเครื่องมือสำหรับการวัดความเร็วลม (anemometer) เพื่อวัดและเก็บข้อมูลความเร็วลมซึ่งจะถูกติดตั้งอยู่กับชุดแพนไทร (vane)

3.2 ส่วนประกอบของกังหันลมเพื่อการสูบน้ำ กังหันลมสูบน้ำเป็นกังหันลมที่มีแกนเพลาอยู่ในแกนนอน มีส่วนประกอบและความซับซ้อนของเทคโนโลยีไม่นานนัก กังหันลมแบบนี้ได้รับการพัฒนาขึ้นเพื่อช่วยเหลือเกษตรกรที่ทำการเกษตรหรืออุปศุลต์ ซึ่งส่วนใหญ่จะอยู่ในพื้นที่ที่

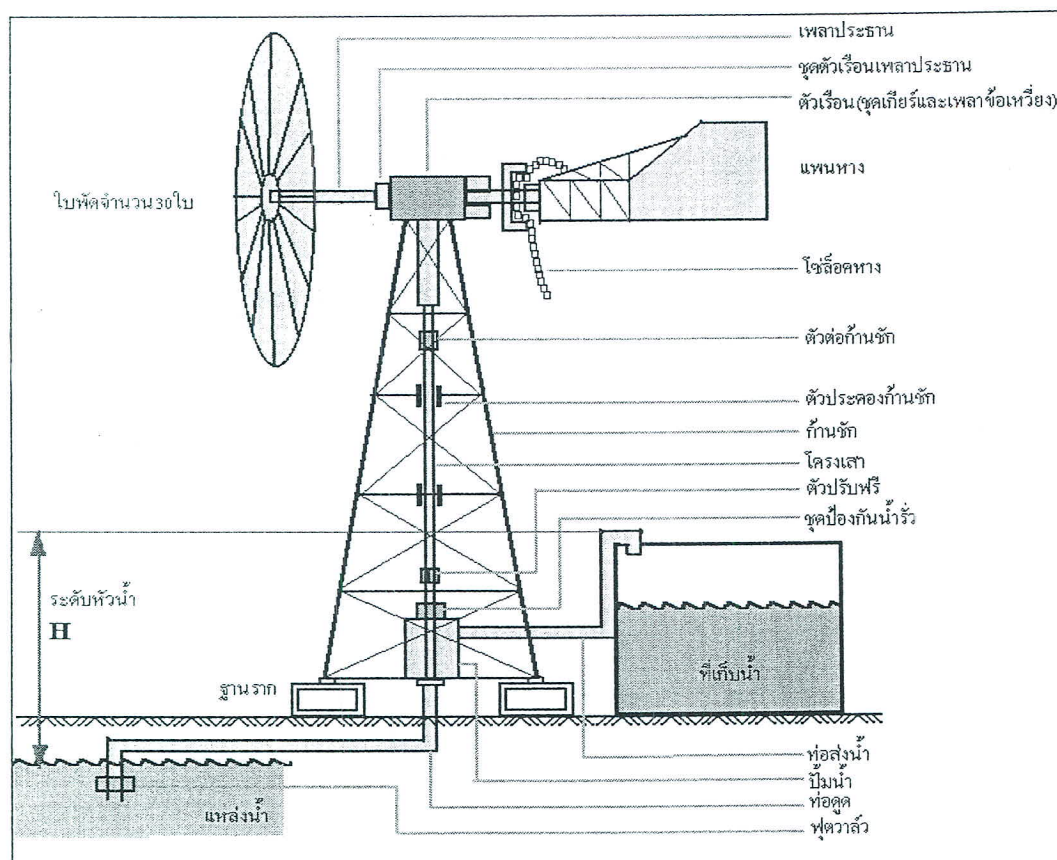
ห่างไกลในเขตชนบทและไม่มีไฟฟ้าใช้สำหรับการสูบน้ำ ตัวอย่างกังหันลมเพื่อการสูบน้ำและส่วนประกอบที่สำคัญของกังหันลมสูบน้ำดังแสดงในภาพที่ 5 ซึ่งกรมพัฒนาพลังงานทดแทนและอนุรักษ์พลังงานได้ดำเนินการสร้างและทดลองใช้งานมีดังนี้ [1]

3.2.1 ใบพัด ทำหน้าที่รับแรงจากพลังงานลมแล้วเปลี่ยนเป็นพลังงานกลและส่งต่อไปยังเพลาประธานหรือเพลาหลัก

3.2.2 ตัวเรือน ประกอบไปด้วยเพลากลประธานหรือเพลาหลัก ชุดตัวเรือนเพลาประธาน ซึ่งเป็นตัวหมุนถ่ายแรงกลเข้าตัวห้องเครื่องภายในห้องเครื่องจะเป็นชุดถ่ายแรงและเกียร์ที่เป็นแบบข้อเหวี่ยงหรือแบบเพื่อขับ เพื่อเปลี่ยนแรงจากแนวราบเป็นแนวตั้งเพื่อดึงก้านชักขึ้นลง

3.2.3 ชุดแพนหาง ประกอบไปด้วยไวนท์ไทร์ในแนวตั้งที่ติดตั้งไว้ที่บังคับตัวเรือนและใบพัดเพื่อให้หันรับแรงลมในแนวราบได้ทุกทิศทาง

3.2.4 โครงสร้าง ทำด้วยเหล็กประกอบเป็นโครงถัก (truss structure) ความสูงของกังหันลมสูบน้ำมีความสำคัญอย่างมากในการพิจารณาติดตั้งกังหันเพื่อให้สามารถรับลมได้ กังหันลมแบบนี้มีความสูงประมาณ 12-15 เมตร และมีแกนกลางเป็นตัวบังคับก้านชักให้ขึ้นลงในแนวตั้ง



ภาพที่ 5 ส่วนประกอบของกังหันลมเพื่อการสูบน้ำ [1]

3.2.5 ก้านชักทำด้วยเหล็กกลมตัน สำหรับรับแรงชักขึ้นลงในแนวคิ่งจากเพื่อองขับที่อยู่ในตัวเรือน เพื่อทำหน้าที่ปั๊มอัดกระบวนการอกสูบนำ้

3.2.6 ปั๊มน้ำ ลูกสูบของกังหันลมสูบน้ำใช้วัสดุส่วนใหญ่เป็นทองเหลืองหรืออาจเป็นสแตนเลส ซึ่งมีความคงทนต่อกรดและค่าสามารถรับแรงดูดและแรงส่งได้สูงมีหลายขนาดเดี่ยวใช้ทั่วไปมีขนาด 4.5-6 นิ้ว

3.2.7 ท่อน้ำ ส่วนใหญ่มากใช้ท่อ พีวีซี หรือท่อเหล็ก ที่มีขนาดประมาณ 2 นิ้ว

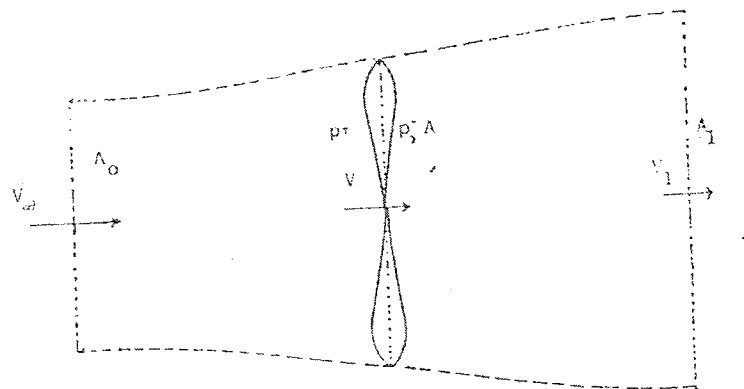
4. ทฤษฎีอากาศพลศาสตร์

ทฤษฎีใช้อธินายอากาศพลศาสตร์ของกังหันลมมี 2 ทฤษฎี คือ ทฤษฎีโมเมนตัม (Momentum theory) และทฤษฎีอิลิเมนท์ของไบ (Blade elementary theory) ทฤษฎีโมเมนตัม วิเคราะห์ถึงการเปลี่ยนแปลงโมเมนตัมบนตัวกังหันลม ทฤษฎีอิลิเมนท์ของไบกล่าวถึงแรงกระทำที่เกิดขึ้นบนใบกังหันแต่ละใบเนื่องจากการเคลื่อนที่ของอากาศและใบกังหัน เมื่อนำทฤษฎีทั้งสองมาวิเคราะห์ร่วมกันพบว่าสามารถทำงานยสมรรถนะกังหันลมและนำมาใช้ออกแบบกังหันลมได้ [3,9]

4.1 ทฤษฎีโมเมนตัม (Momentum Theory) ทฤษฎีนี้แรงคิน (Rankine) ได้อธินายเป็นคนแรกในปี พ.ศ. 2408 (ค.ศ. 1865) ฟรูต (Froude) ได้ปรับปรุงทฤษฎีนี้ในเวลาต่อมา เบ็ทซ์ (Betz) ได้ใช้ทฤษฎีทำงานยประสิทธิภาพกำลังงานของกังหันลมในอุดมคติ ต่อมาได้มีการพิจารณานำเสนอผลจากการหมุนของเวก (Wake Rotation) และการสูญเสียปลายใบ (Tip loss) รวมเข้าในทฤษฎีทำให้การทำงานยสมรรถนะใกล้เคียงกับผลที่ได้จากภาคสนามและการทดสอบในอุโมงค์ลมมากขึ้น ซึ่งจะกล่าวถึงในรายละเอียดดังนี้ [3,9]

4.1.1 ทฤษฎีโมเมนตัมในแนวแกน (Axial Momentum Theory) เป็นทฤษฎีที่อธินายถึงการเปลี่ยนแปลงโมเมนตัมที่เกิดขึ้นบนกังหันลม พิจารณาอากาศที่ไหลผ่านกังหันลม ลำอากาศที่ไหลผ่านด้านหน้ากังหันลมมีแต่ความเร็วตามแนวแกนเท่านั้น แต่เมื่ออากาศไหลผ่านกังหันลม บริเวณด้านหลังของกังหันลมอากาศนั้นมีความเร็วทั้งในทิศทางตามแนวแกนและในทิศทางเชิงมุม เป็นโมเดลอย่างง่ายที่ใช้อธินายการเปลี่ยนแปลงของพารามิเตอร์ต่าง ๆ ที่เกิดขึ้นบนกังหันลม โดยตั้งสมมุติฐานว่า

- 1) ตัวกลาง เป็นของไหลอัดตัวไม่ได้
- 2) ไม่มีแรงเสียดทานเนื่องจากแรงหน่วง
- 3) จำนวนในกังหันลมเป็นอนันต์
- 4) ของไหลมีการไหลแบบเนื้อเดียวทันต่อ
- 5) ไม่มีการหมุนของเวก



ภาพที่ 6 ภาพแสดงถูกชนบทการเคลื่อนที่ของอากาศก่อนเข้าและหลังกังหันลมในแนวแกน (Axial flow) A_0 , A , A_1 เป็นพื้นที่ภาคตัดขวางพลังงานลม [3]

กฎการอนุรักษ์มวล (Conservation of mass)

$$\rho A_0 V_\infty = \rho A V = \rho A_1 V_1 \quad (2.1)$$

เมื่อ	ρ	= ความหนาแน่นของอากาศ
	A_0	= พื้นที่ภาคตัดขวางของพลังงานลมด้านหน้ากังหัน
	A	= พื้นที่ภาคตัดขวางของกังหันลม
	A_1	= พื้นที่ภาคตัดขวางของพลังงานลมด้านหลังกังหัน
	V	= ความเร็วลม ก่อนเข้ากังหัน ณ. ตำแหน่งไกลมาก
	V_∞	= ความเร็วลมที่ไ浩ผ่านกังหัน
	V_1	= ความเร็วลม เมื่อผ่านกังหันออกมาน ณ. ตำแหน่งไกลมาก

แรงต้านกังหันลมเกิดจากการเปลี่ยนแปลงโนเมนตัมของมวลของอากาศที่ไ浩เข้าและออกผ่านกังหันลม

$$T = \rho A_0 V_\infty^2 - \rho A_1 V_1^2 \quad (2.2)$$

เมื่อ T = แรงต้าน

แทนสมการ (2.1) ลงในสมการ (2.2)

$$T = \rho A V (V_\infty - V_1) \quad (2.3)$$

แรงชาร์สต์บนกังหันลม อาจอธิบายได้ในเทอมของความดันที่กระทำด้านหน้าและด้านหลังของกังหันลม

$$T = (p^+ - p^-) A \quad (2.4)$$

สมการของเบอร์นูลลี (Bernoulli's equation) จากภาพที่ 6

พิจารณาจากตำแหน่งไก่ลมมาก หน้ากังหันจนถึงตำแหน่งหน้ากังหันลม :

$$p + \frac{1}{2} \rho V_\infty^2 = p^+ + \frac{1}{2} \rho V^2 \quad (2.5\text{ก})$$

พิจารณาจากตำแหน่งไก่ลมมากหลังกังหันลมจนถึงตำแหน่งไก่ลมมากหลังกังหัน :

$$p^- + \frac{1}{2} \rho V^2 = p + \frac{1}{2} \rho V_1^2 \quad (2.5\text{ข})$$

จาก (2.5ก) และ (2.5ข) ได้

$$p^+ - p^- = \frac{1}{2} \rho (V_\infty^2 - V_1^2) \quad (2.6)$$

แทนสมการ (2.6) ในสมการ (2.4)

$$T = \frac{1}{2} \rho A (V_\infty^2 - V_1^2) \quad (2.7)$$

จากสมการ (2.3) และสมการ (2.7) หากความสัมพันธ์ได้

$$V = \frac{1}{2} (V_\infty - V_1) \quad (2.8)$$

สมมติให้

$$V = V_\infty(1 - a) \quad (2.9)$$

เมื่อ a คือเฟกเตอร์เหนี่ยวนำตามแนวแกน (Axial induction factor)

ดังนั้นเราสามารถหาความสัมพันธ์ของความเร็วด้านหน้าและด้านหลังกังหันลมได้ดังนี้

$$V_1 = V_\infty(1 - 2a) \quad (2.10)$$

$$T = 2a(1 - a)\rho A V_\infty^2 \quad (2.11)$$

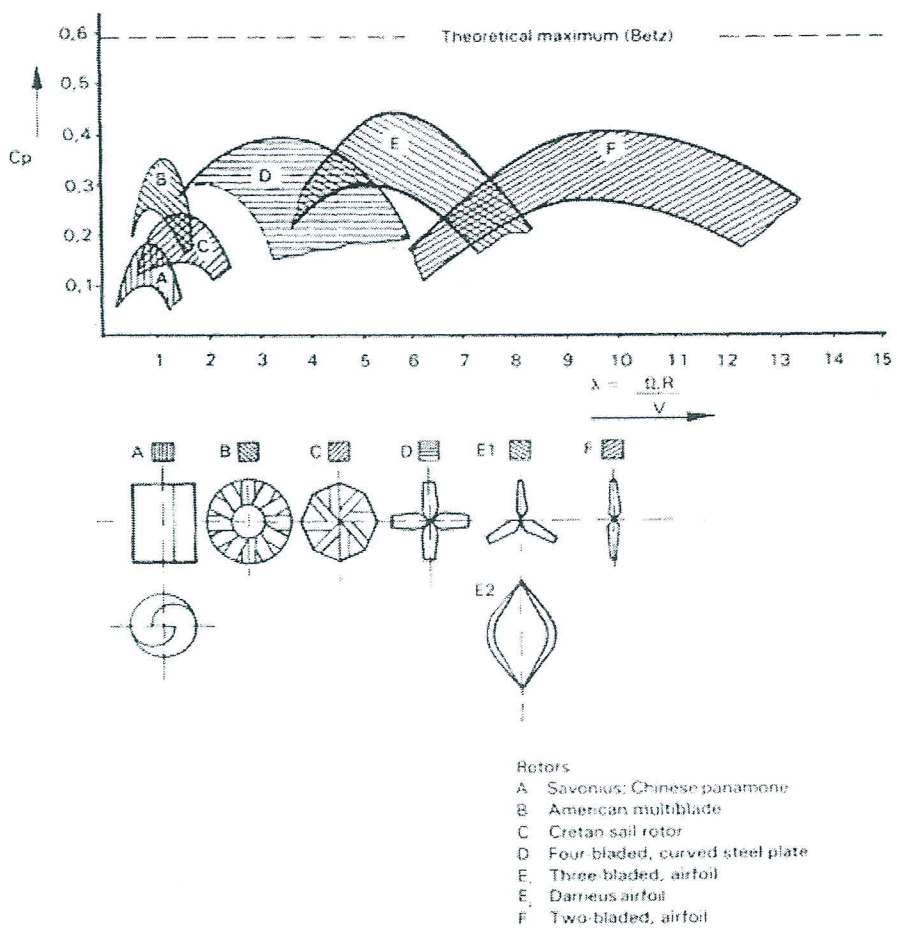
จากสมการ (2.11) สามารถหาค่ากำลังสูงสุดได้โดยหาอนุพันธ์ของสมการ (2.11) เทียบ กับ a จะได้ค่า a ที่ให้ค่ากำลังสูงสุดเท่ากับ $1/3$ นำค่า a แทนลงใน (2.11) จะได้สัมประสิทธิ์ของกำลัง (Power coefficient, C_p) เท่ากับ

$$C_p = \frac{P}{\frac{1}{2}\rho A V_\infty^3} \quad (2.12)$$

ค่า C_p สูงสุดจะมีค่าเท่ากับ $\frac{16}{27}$ หรือ 0.5926 ซึ่งเรียกค่านี้ว่า สัมประสิทธิ์กำลังสูงสุด ของ Betz ดังแสดงในภาพที่ 7 สำหรับกังหันลมชนิดต่าง ๆ [11]

4.1.2 การหมุนของเวก (Wake Rotation) ถ้าหากพิจารณาบริเวณด้านหลังกังหันลม พบว่า การเคลื่อนที่ของอากาศมีการหมุนเวียนดังแสดงในภาพที่ 8 มีผลทำให้เกิดกำลังงานสูญเสีย ซึ่ง มีค่ามากในกังหันลมประเภทที่มีอัตราส่วนความเร็วปลายใบตัว ส่วนกังหันลมที่มีอัตราส่วนความเร็ว ปลายใบสูง ค่าการสูญเสียจะมีค่าต่ำกว่า

ถ้า Ω เป็นความเร็วรอบของกังหันลม และ ω เป็นความเร็วเชิงมุมของเวก ดังนั้น เมื่อ พิจารณาการหมุนของอากาศเทียบกับใบกังหัน จะพบว่าความเร็วเชิงมุมด้านหน้ากังหันลมมีค่า Ω และความเร็วเชิงมุมด้านหลังกังหันลมมีค่า $\Omega + \omega$



ภาพที่ 7 ความสัมพันธ์ระหว่างค่าสัมประสิทธิ์กำลังงานกับอัตราส่วนความเร็วปลายใบ [11]

สมการที่วิเคราะห์จากสมการเบอร์นูลลีตามสมการ (2.6) จึงเปลี่ยนไปเป็น

$$\begin{aligned}
 p^+ - p^- &= \frac{1}{2} \rho (\Omega + \omega)^2 r^2 - \frac{1}{2} \rho \Omega^2 r^2 \\
 &= \rho (\Omega + \frac{1}{2} \omega) \omega r^2
 \end{aligned}$$

แรงดันสต๊อกที่เกิดขึ้นเป็นได้เป็น

$$dT = \rho (\Omega + \frac{1}{2} \omega) \omega r^2 2\pi r dr \quad (2.13)$$

ถ้า a' เฟคเตอร์หนี่บวนนำสัมผัสตามแนวแกน (Tangential induction factor)

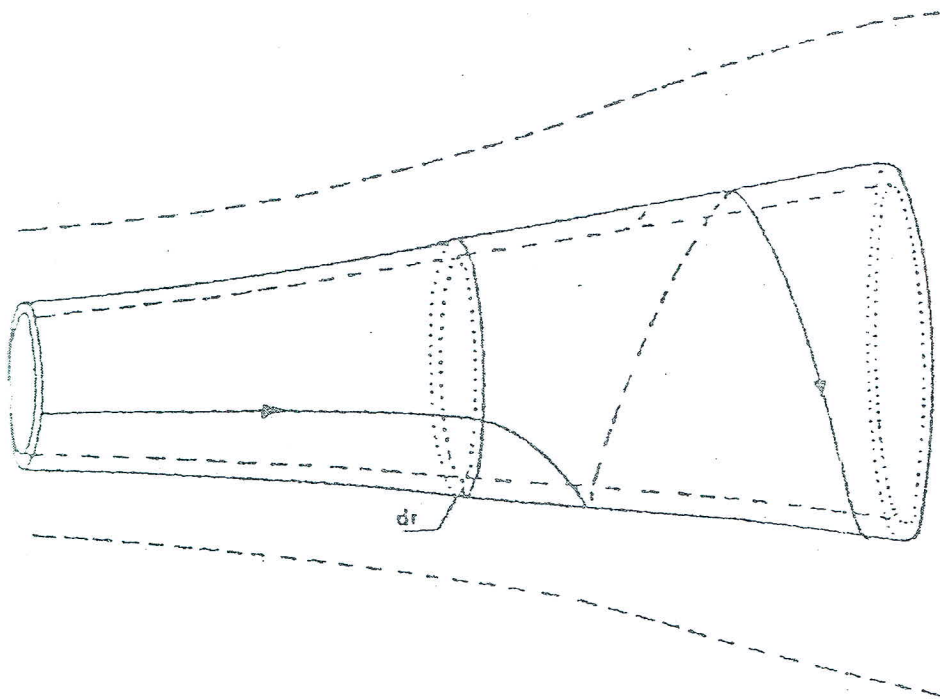
$$a' = \frac{1}{2} \omega / \Omega$$

ดังนั้น $dT = 4a'(1 + a') \frac{1}{2} \rho \Omega^2 r^2 2\pi r dr$ (2.14)

ทอร์ค (Torque) ที่เกิดขึ้นบนกังหันสามารถวิเคราะห์จากกฎการทรงโน้มเน้นตั้ม รอบแกนหมุน

$$dQ = (dm) \cdot \omega r \cdot r = \rho V 2\pi r \cdot dr \cdot \omega r \cdot r \cdot r$$

หรือ $dQ = 4a'(1 - a) \frac{1}{2} \rho V_\infty \Omega r^2 \cdot 2\pi r dr$ (2.15)

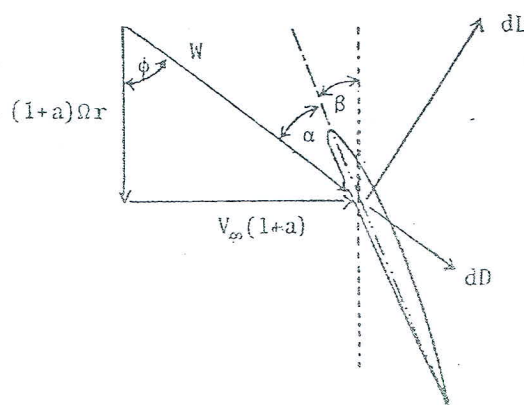


ภาพที่ 8 การเคลื่อนที่ของอากาศด้านหลังกังหันเกิดขึ้นเนื่องจากการหมุนของกังหัน [3]

4.2 ทฤษฎีอิลิเมนท์ของใบ (Blade element theory) กล่าวถึงแรงกระทำที่เกิดขึ้นบนพื้นที่ใบกังหัน การนำทฤษฎีนี้มาใช้จำเป็นต้องทราบรายละเอียดของกังหัน ได้แก่ ความกว้างของใบ ความยาวของใบ จำนวนใบ นูมตั้งจากของใบ ข้อมูลค่าสัมประสิทธิ์ของแรงยก และแรงหน่วงของใบ

สมมุติฐานของทฤษฎีอิลิเมนท์ของใบมีดังนี้

- 1) ในกังหันแต่ละใบ ถือว่ามีอิสระแก่กัน ไม่มีผลกระทบจากใบข้างเคียง
- 2) แรงที่กระทำบนใบนั้นมี 2 แรงคือ แรงยก (Lift force) และแรงหน่วง (Drag force) ของภาคตัดของใบ



ภาพที่ 9 เวกเตอร์ของความเร็วลมและแรงที่เกิดขึ้นบนใบ [3]

แรงยกและแรงหน่วง เบียนเป็นสมการ ได้ดังนี้

$$\text{แรงยก : } dL = C_L \frac{1}{2} \rho W^2 c dr \quad (2.16)$$

$$\text{แรงหน่วง : } dD = C_D \frac{1}{2} \rho W^2 c dr \quad (2.17)$$

แรงธรัศต์ และ ทอร์คที่เกิดขึ้นเบียนได้ดังนี้

$$\text{แรงธรัศต์ : } dT = Bc \frac{1}{2} \rho W^2 (C_L \cos\phi + C_D \sin\phi) dr \quad (2.18)$$

$$\text{ทอร์ค : } dQ = Bc \frac{1}{2} \rho W^2 (C_L \sin\phi - C_D \cos\phi) r dr \quad (2.19)$$

4.3 การสูญเสียปลายใบ (Tip loss) การสูญเสียเกิดขึ้นจากการแตกต่างของความดันบริเวณด้านหลังใบซึ่งมีความดันต่ำกว่าบริเวณ และด้านห้องใบซึ่งมีความสูงกว่าบริเวณ ดังนั้นบริเวณปลายใบพบว่ามีอากาศไหลวนจากความดันสูงไปหาความดันต่ำทำให้ความดันที่ปลายใบทั้งด้านหลังใบ และห้องใบมีค่าเข้าใกล้ ค่าความดันบรรยายไม่ผลให้แรงยกมีค่าต่ำลง เรียกผลที่เกิดว่าการสูญเสียที่ปลายใบ

เพرنท์ล (Prandtl) ได้ให้สมการการสูญเสียปลายใบอยู่ในรูปของสมประสิทธิ์ F

$$F = \frac{2}{\pi} \arccos \exp \left(-\frac{1}{2} B_r \frac{R-r}{\sin \phi} \right)$$

เจนเซ่น (Jensen) ได้ก่อตัวถึงโมเดลของเพرنท์ลและได้อธิบายถึงการลดรูปของสมการที่ติดอยู่ในเทอมอีกชุดหนึ่ง เช่น R และ r ให้อยู่ในรูปของค่าคงที่ ดังนี้

$$F = 1 - \frac{1.386}{B} \sin(\phi/2)^2 \quad (2.20)$$

วิลสันและ ลิซซามัน (Wilson and Lissaman) สมมุติว่า แฟคเตอร์หนึ่ยวนำ a และ a' ต้องคูณกับ F และสมมุติว่าการสูญเสียปลายใบรวมอยู่ในสมการของทฤษฎีโมเมนตัมท่านี้

$$\text{ดังนั้น} \quad dT = 4aF(1-aF) \frac{1}{2} \rho V_\infty^2 2\pi r dr \quad (2.21)$$

4.4 การรวมทฤษฎีโมเมนตัมและทฤษฎีอิลิเมนท์ของใบ เป็นการรวมทฤษฎีโมเมนตัมกับทฤษฎีอิลิเมนท์ของใบเข้าด้วยกัน เพื่อนำผลที่ได้จากทั้ง 2 ทฤษฎีไปใช้วิเคราะห์สมรรถนะของกังหันลม โดยพิจารณาแรงชักต์และทอร์คของทฤษฎีโมเมนตัมเปรียบเทียบกับทฤษฎีอิลิเมนท์ของใบ

ทฤษฎีโมเมนตัม :

$$dT = 4a(1-a) \frac{1}{2} \rho V_\infty^2 2\pi r dr$$

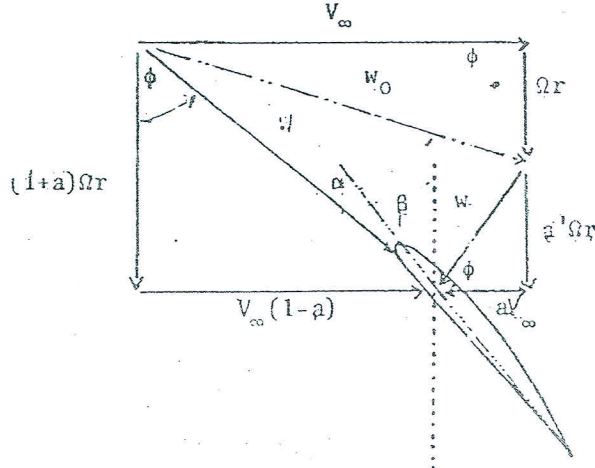
$$dT = 4a'(1+a') \frac{1}{2} \rho \Omega^2 r^2 2\pi r dr$$

$$dQ = 4a'(1-a) \frac{1}{2} V_\infty \Omega r 2\pi r dr$$

กฎภูมิเมโน่ของใบ :

$$dT = (C_L \cos\phi + C_d \sin\phi) \frac{1}{2} \rho W^2 B c r dr$$

$$dQ = (C_L \sin\phi - C_d \cos\phi) \frac{1}{2} \rho W^2 B c r dr$$



ภาพที่ 10 โศภ์ความเร็วลมที่เกิดขึ้นบนใบ [3]

$$W = V_\infty \sin\phi + \Omega r \cos\phi = V_\infty (\sin\phi + \lambda_r \cos\phi) \quad (2.22)$$

$$W = \frac{(1-a)V_\infty}{\sin\phi} = \frac{(1+a')\Omega r}{\cos\phi} \quad (2.23)$$

จากภาพที่ 10

$$\tan\phi = \frac{(1-a)V_\infty}{(1+a')\Omega r} = \frac{(1-a)}{(1+a')} \frac{1}{\lambda_r} \quad (2.24)$$

$$\frac{W \cos\phi}{W \sin\phi} = \frac{a}{(1-a)} \quad (2.25)$$

จากสมการ (2.11) และ สมการ (2.18) เมื่อแทนค่าของ W ทำให้สามารถหา ความถันพันธ์ได้ดังนี้

$$\frac{4a}{1+a} = \frac{\sigma C_L \cos\phi}{\sin^2\phi} \quad (2.26)$$

ในทำนองเดียวกันกับสมการ (2.13) และสมการ (2.19) จะได้

$$\frac{4a'}{1+a'} = \frac{\sigma C_L}{\cos\phi}$$

เมื่อ σ คืออัตราส่วนโซลิดิตี (Solidity ratio)

$$\sigma = \frac{Bc}{2\pi r} \quad (2.27)$$

ดังนั้น สามารถหาท่อร์คในรูปสัมประสิทธิ์ทอร์ค (C_q) ได้ดังนี้

$$C_q = \frac{Q}{\frac{1}{2}\rho A V_\infty^2}$$

ดังนั้น

$$dC_q = (1+a') \frac{\sigma C_L \sin\phi}{\cos^2\phi} \left(1 - \frac{C_d}{C_L} \cdot \frac{1}{\tan\phi}\right) \lambda_r^2 r dr \quad (2.28)$$

หรือ

$$dC_q = 2\sigma x^2 (\sin\phi + \lambda_r \cos\phi)^2 (C_L \sin\phi - C_d \cos\phi) \quad (2.29)$$

เมื่อ x คือ อัตราส่วนรัศมี

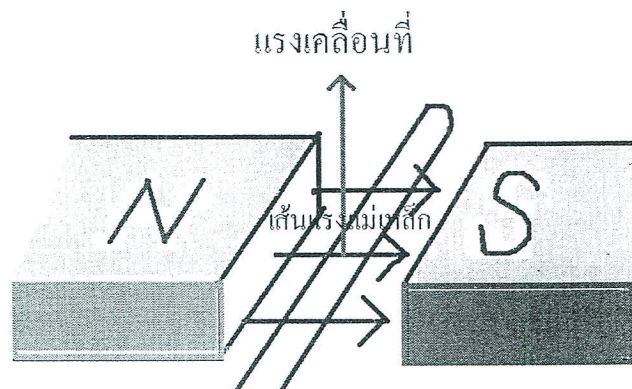
$$x = \frac{r}{R} \quad (2.30)$$

เมื่อ λ_r คือ อัตราส่วนความเร็วปลายใบ (TSR) ที่รัศมีใด ๆ

$$\lambda_r = \frac{\Omega r}{V} \quad (2.31)$$

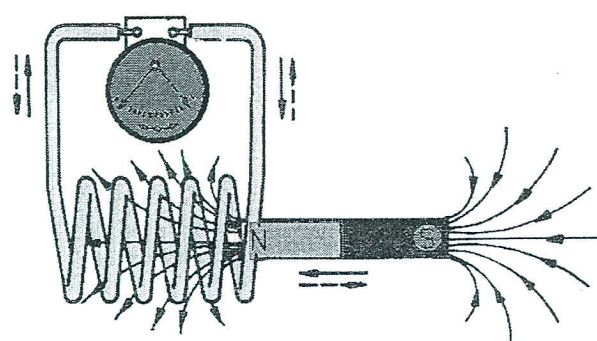
5. ทฤษฎีเบื้องต้นของเครื่องกำเนิดไฟฟ้า

5.1 หลักการเบื้องต้นของเครื่องกำเนิดไฟฟ้า (Generator) เป็นเครื่องกลไฟฟ้าที่เปลี่ยนพลังงานกลเป็นพลังงานไฟฟ้า จากกฎของฟาราเดย์ (Faraday's Law) กล่าวว่า “เมื่อสนามแม่เหล็กซึ่งตัดกับขดลวดตัวนำเกิดการเปลี่ยนแปลง จะทำให้มีแรงไฟฟ้าเหนี่ยววนนำเกิดขึ้นในขดลวดตัวนำนั้น” หรือกล่าวอีกนัยหนึ่งว่า “ถ้าเส้นลวดตัวนำเคลื่อนที่ตัดกับสนามแม่เหล็ก จะมีแรงเคลื่อนไฟฟ้าเหนี่ยววนนำเกิดขึ้น ในเส้นลวดตัวนำนั้น” [4]



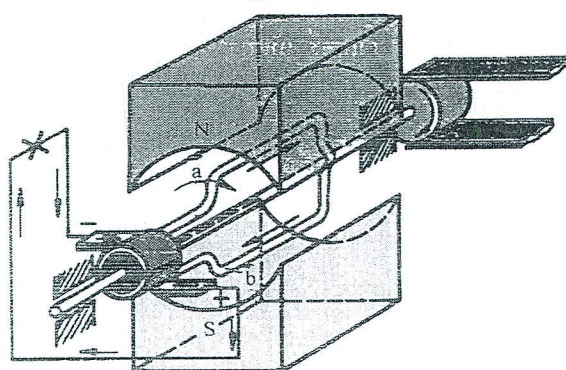
ภาพที่ 11 อธินายกฎของฟาราเดย์

5.2 หลักการเบื้องต้นเครื่องกำเนิดไฟฟ้าแบบสนามแม่เหล็กหมุนในขดลวด จากกฎของฟาราเดย์หลักการนี้กำหนดให้ขดลวดอยู่กับที่และให้แม่เหล็กหมุนเคลื่อนที่ และต่อป้ายทั้งสองเข้ากันขั้วของกัลวานومิเตอร์ เมื่อทำให้ขั้วแม่เหล็กกลับไปกลับมาภายในขดลวด จะพบว่าเข็มของกัลวานอมิเตอร์แปรผันไปกลับมาเช่นเดียวกันแสดงว่ามีกระแสสัลบากิดขึ้นแล้วบนขดลวด [4]



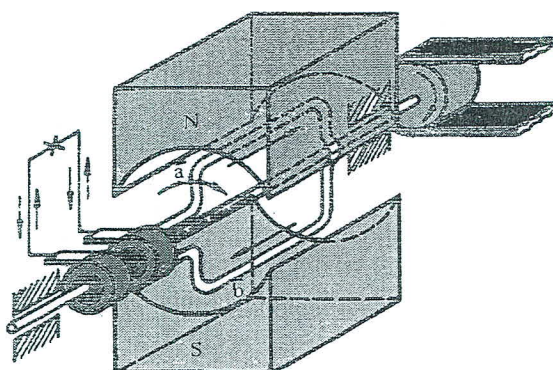
ภาพที่ 12 หลักการเบื้องต้นเครื่องกำเนิดไฟฟ้าแบบสนามแม่เหล็กหมุนในขดลวด

5.3 เครื่องกำเนิดไฟฟ้ากระแสตรง หลักการเบื้องต้นของเครื่องกำเนิดไฟฟ้ากระแสตรง ประกอบด้วยขดลวดเพียงขดเดียว (2 ด้านนำ) ซึ่งปลายทั้งสองต่อเข้ากันซึ่งทองแดงของคอมมิวเตเตอร์ เมื่อทำให้หมุนในสนามแม่เหล็ก N-S จะให้เกิดแรงเคลื่อนไฟฟ้ากระแสสลับบนตัวนำทั้งสองของขดลวด ตามกฎมีอข่าวของเฟลมมิง และจะเปลี่ยนเป็นไฟฟ้ากระแสตรง เมื่อผ่านซึ่งห้องแดงของคอมมิวเตเตอร์ [4]



ภาพที่ 13 หลักการเบื้องต้นของเครื่องกำเนิดไฟฟ้ากระแสตรง

5.4 เครื่องกำเนิดไฟฟ้ากระแสสลับ มีลักษณะเดียวกับเครื่องกำเนิดไฟฟ้ากระแสตรง ต่างกันตรงที่ปลายสายทั้งสองของขดลวดต่อเข้ากันแหวนทองแดง หรือ สลิปริง(Slip Ring) จึงนำกระแสกระแสสลับที่ให้กำเนิดบนตัวนำไปใช้โดยตรง ด้วยการต่อผ่านสลิปริง



ภาพที่ 14 หลักการเบื้องต้นของเครื่องกำเนิดไฟฟ้ากระแสสลับ

5.5 การคำนวณแรงเคลื่อนไฟฟ้า แรงเคลื่อนไฟฟ้าหนึ่งนำที่เกิดขึ้นในขดลวดตัวนำที่เคลื่อนที่ผ่านสนามแม่เหล็กที่ สามารถคำนวณได้ดังนี้

$$E_{av} = B_i l V_i \quad (2.32)$$

เมื่อ

E_{av} = แรงเคลื่อนไฟฟ้าเฉลี่ย (โวลต์)

B_i = ความหนาแน่นของสนามแม่เหล็ก (เวบอร์ต่อตารางเมตร)

l = ความยาวตัวนำ (เมตร)

V_i = อัตราความเร็วในการเปลี่ยนค่าสนามแม่เหล็ก (เมตรต่อวินาที)

$$V_i = \frac{2\pi R_i S}{60} \quad (2.33)$$

เมื่อ

V_i = อัตราความเร็วในการเปลี่ยนค่าสนามแม่เหล็ก (เมตรต่อวินาที)

R_i = รัศมีของขดลวดตัวนำในเครื่องกำเนิดไฟฟ้า (เมตร)

S = ความเร็วรอบของเพลา (รอบต่อนาที)

นอกจากนี้แรงเคลื่อนไฟฟ้ายังสามารถหาได้จากการต่อไปนี้

$$E_{av} = 2nAB = \frac{RPM}{60} \quad (2.34)$$

เมื่อ

E_{av} = แรงเคลื่อนไฟฟ้าเฉลี่ย (โวลต์)

B = ความหนาแน่นของสนามแม่เหล็ก (เวบอร์ต่อตารางเมตร)

n = จำนวนรอบของขดลวด

A = พื้นที่ทั้งหมดของสนามแม่เหล็ก (ตารางเมตร)

แรงดันสูงสุดจะมีค่าสูงกว่าแรงดันเฉลี่ยประมาณ 50 %

$$E_{peak} = 1.56 E_{av} \quad (2.35)$$

ถ้าขดลวดมีการต่อแบบ 3 เฟส ซึ่งโดยทั่วไปจะต่อแบบสตาร์ จะทำให้แรงเคลื่อนไฟฟ้า มีค่าสูงขึ้นอีกประมาณสิบเท่าที่สามของแรงดันไฟฟ้าสูงสุด

$$E_{\text{peakstar}} = 1.73 E_{\text{peak}} \quad (2.36)$$

5.6 กฎของโอมห์ (Ohm's Law) กฎของโอมห์ กล่าวไว้ว่ากระแสไฟฟ้าที่ไหลผ่านตัวนำ จะแปรผันตามแรงดันไฟฟ้าที่ตอกคร่อม ปลายทั้งสองของตัวนำ และแปรผันผกผันกับค่าความต้านทานของตัวนำนั้น

$$I = \frac{V}{R} \quad (2.37)$$

เมื่อ I = กระแสไฟฟ้า (แอมเปอร์)
 V = แรงเคลื่อนไฟฟ้า (โวลต์)
 R = ค่าความต้านทาน (โอห์ม)

5.7 กำลังไฟฟ้าและพลังงานไฟฟ้า กำลังไฟฟ้า (Power Electric) หมายถึงผลคูณระหว่างแรงเคลื่อนไฟฟ้าและการกระแสไฟฟ้า

$$P = IV \quad (2.38)$$

เมื่อ P = กำลังไฟฟ้า (วัตต์)
 I = กระแสไฟฟ้า (แอมเปอร์)
 V = แรงเคลื่อนไฟฟ้า (โวลต์)

พลังงานไฟฟ้า (Electric Energy) หมายถึง ผลคูณระหว่างกำลังไฟฟ้าและจำนวนเวลาที่ใช้งาน

$$E = PT \quad (2.39)$$

เมื่อ E = พลังงานไฟฟ้า (วัตต์-ชั่วโมง)
 P = กำลังไฟฟ้า (วัตต์)
 T = เวลา (ชั่วโมง)

5.8 การหาค่าไฟฟ้าหรือหน่วยไฟฟ้า ค่าไฟฟ้า 1 หน่วยเท่ากับ 1 kWh หรือ 1000 วัตต์ ต่อชั่วโมง หมายถึง เครื่องใช้ไฟฟ้าที่กินไฟ 1000 วัตต์ในเวลา 1 ชั่วโมง หากได้จากสมการ

$$E_{\text{unit}} = \frac{PT}{1000} \quad (2.40)$$

เมื่อ E_{unit} = หน่วยการใช้กำลังไฟฟ้า (กิโลวัตต์ - ชั่วโมง หรือหน่วย)
 P = กำลังไฟฟ้า (วัตต์)
 T = จำนวนชั่วโมงการใช้งาน (ชั่วโมง)

5.9 กำลังไฟฟ้าที่กังหันลมผลิตได้ หลังจากทราบว่าความเร็วลม และปริมาณการใช้พลังงานไฟฟ้าในแต่ละวัน กังหันลมที่สร้างขึ้นจะต้องมีความสามารถในการผลิตไฟฟ้าในปริมาณที่เหมาะสมกับการต้องการใช้ในแต่ละวัน ให้คิดเพื่อสำหรับการสูญเสียในระบบจากชุดแปลงกระแสไฟฟ้า 25%

$$P_w = 1.25 \frac{E}{h} \quad (2.41)$$

เมื่อ P_w = กำลังไฟฟ้าของกังหันลม (วัตต์)
 E = พลังงานไฟฟ้า (วัตต์-ชั่วโมง)
 h = จำนวนชั่วโมงการทำงานของกังหันลม (ชั่วโมง)

5.10 ขนาดเบตเตอรี่ แบตเตอรี่เป็นอุปกรณ์ที่สำคัญในการเก็บสะสมพลังงานไฟฟ้าเพื่อสำรองในการใช้งาน เพราะการผลิตไฟฟ้าของกังหันลมขึ้นอยู่กับความเร็วลม เพื่อให้เกิดการใช้งานของอุปกรณ์ไฟฟ้าที่ต้องเนื่อง จึงต้องมีแบตเตอรี่จึงต้องมีขนาดที่เหมาะสมกับการใช้งานในแต่ละวัน

$$A_h = \frac{EH \times 50\%}{V} \quad (2.42)$$

เมื่อ A_h = ขนาดกระแสของแบตเตอรี่ (แอม培ร์-ชั่วโมง)
 E = พลังงานไฟฟ้า (วัตต์-ชั่วโมง)
 H = จำนวนชั่วโมงสำรองการใช้งาน (ชั่วโมง)
50% = พลังงานไฟฟ้าที่ใช้งานจริงของแบตเตอรี่

6. งานวิจัยที่เกี่ยวข้อง

จินดาภาณุ และคณะ [6] ได้ทดสอบสมรรถนะของกังหันลมชาโวเนียสแบบแผ่นแบนปลายโคลี ซึ่งได้มีการออกแบบและสร้างเครื่องมือที่ใช้ทดสอบได้แก่ ฐานไว้สำหรับติดตั้งในกังหัน และเครื่องมือวัดแรงบิด อุโมงค์ลม และเครื่องเป่าลม เครื่องเป่าลมนี้สามารถสร้างความเร็วลมได้ตั้งแต่ 2 ถึง 8 เมตรต่อวินาที ในการทดสอบในกังหันลมแบบแผ่นแบนนี้จะทำการทดสอบโดยมีค่ารัศมีของแขนในกังหันต่อรัศมีความโถงมีค่าคงที่ โดยทำการเปลี่ยนค่ามุม θ เพิ่มที่ละ 15 องศา เริ่มที่ 30 องศาถึง 165 องศา และจำนวนใบพัดเป็น 2, 3, 4 และ 6 ใน เราจะนำผลจากการทดสอบมาศึกษาและนำมารวิเคราะห์การเรียนเทียบค่าของสมรรถนะ ได้จาก กราฟความสัมพันธ์ระหว่างความเร็วลม กับกำลังของใบกังหัน และกราฟความสัมพันธ์ระหว่างอัตราส่วนความเร็วลมปลายในกับสัมประสิทธิ์ กำลัง ซึ่งจากการทดสอบได้ว่าใบกังหันจำนวน 6 ใน นูน 135 องศาจะมีประสิทธิภาพสูงสุด

เศกสิทธิ์ และคณะ [10] ได้ศึกษาสมรรถนะของกังหันลมชาโวเนียสชนิดมีช่องว่างตรงกลาง เพื่อเป็นพื้นฐานในการพัฒนารูปแบบกังหันลมในแนวตั้งต่อไป โดยตัวกังหันลมชาโวเนียสทำด้วยเหล็ก มีขนาดเมื่อการใบพัดเดินที่ 0.5×0.5 m. รับความเร็วลมตั้งแต่ $2 - 8$ m/s โดยใช้ลมเดอร์ (Blower) เป็นตัวกำเนิดกระแสลม และใช้ท่อส่งลมเป็นตัวควบคุมกระแสลมให้เกิดความสม่ำเสมอ ตลอดทั้งหน้าตัดมายังตัวกังหัน ซึ่งให้กำลังสูงสุดที่ความเร็วลม 8 m/s 2 ใบพัด $a/r = 0.8$ จากการทดลองที่ 2, 3 และ 4 ใบพัด พบร่วมมือความเร็วลมและ a/r เพิ่มขึ้น จะทำให้กำลังของกังหันเพิ่มขึ้นตามไปด้วย

บุษราคัม เกี้ยวสันเทียะ [9] ได้ทำการศึกษาจำนวนใบพัดและมุมติดตั้งใบพัดที่เหมาะสม เพื่อให้ชุดใบพัดกังหันลมซึ่งมีใบพัดแบบแผ่นเรียบมีประสิทธิภาพสูงสุด โดยใช้แบบจำลองทางคณิตศาสตร์ เมื่อปรับเปลี่ยนจำนวนใบพัด 6, 8, 10, 12, 16, 20, 24 และ 28 ใน และปรับมุมติดตั้งใบพัดระหว่าง 15, 20, 25 และ 30 องศา แบบจำลองทางคณิตศาสตร์ที่ใช้ในการวิเคราะห์หาค่าสัมประสิทธิ์กำลังงานและค่าทางอากาศพลศาสตร์ของกังหันลม ได้สร้างจากทฤษฎีโมเมนตัมตามแนวแกนและทฤษฎีอิลิเมนท์ของใบ การศึกษาชุดใบพัดกังหันลมที่มีเส้นผ่านศูนย์กลางกังหัน 0.7 เมตร ในพัดเป็นแบบแผ่นเรียบมีความกว้างของใบพัด 0.1 เมตร ความยาวใบพัด 0.2 เมตร หนา 1 มิลลิเมตร ความเร็วลม 3 เมตรต่อวินาที พบร่วม จำนวนใบพัดที่เหมาะสมสมสำหรับชุดใบพัดกังหันลมแบบแผ่นเรียบท่ากับ 12 ใบพัด และมุมติดตั้งใบพัดที่เหมาะสมเท่ากับ 20 องศา โดยมีค่าสัมประสิทธิ์กำลังงานสูงสุดเท่ากับ 0.29 ที่อัตราส่วนความเร็วลมปลายในประมาณ 1.6

ช.โอลิชร ธรรมแท้ และ ทวีช. จิตรสมบูรณ์ [6] ได้ทำการออกแบบกังหันลมแกนนอนด้วยวิธีเชิงทฤษฎีและเชิงตัวเลขถูกนำมาใช้ร่วมกันเพื่อบูรณาการ การออกแบบกังหันลมแกนนอนตามหลักอากาศพลศาสตร์ หลักการคืออาศัยวิธีการคำนวณเชิงทฤษฎีที่คำนวณได้อ่ายั่งรวดเร็วในการค้นหาค่าที่เหมาะสมสำหรับกังหันลม และใช้วิธีเชิงตัวเลขที่มีความแม่นยำสูงกว่า ในการยืนยันหรือ

ปรับการออกแบบในเชิงทฤษฎี (หากจำเป็น) การออกแบบกังหันลมในที่นี้มีเป้าหมายในการออกแบบคือ ได้ประสิทธิภาพสูงที่ลมต่ำ และ ได้ Rated Power ที่ลมคำกว่า 10 m/s การออกแบบกังหันลมด้วยโปรแกรมเชิงทฤษฎีที่ได้พัฒนาขึ้นให้ผลตามเป้าหมายที่ตั้งไว้ และเมื่อสอนเทียนการออกแบบด้วยวิธีเชิงตัวเลขพบว่าประสิทธิภาพกังหันลมที่ได้มีความสอดคล้องกัน ทำให้กังหันลมที่ออกแบบมีความน่าเชื่อถือ

ชโอลาร ธรรมแท้ และ ทวิช จิตรสมบูรณ์ [5] ได้ทำการวิเคราะห์อากาศพลศาสตร์ของในกังหันลมด้วยทฤษฎี Strip ซึ่งสร้างจากการวิเคราะห์กฎอนุรักษ์มวล โมเมนตัม และ โมเมนตัมเชิงมุมของ Strip ทำให้ได้ความสำคัญไปสู่การออกแบบมุมบิดของในกังหันที่เหมาะสม ทำการเขียนโปรแกรมตามทฤษฎี Strip และทดสอบเบริยนเทียนผลลัพธ์จากการคำนวนเชิงทฤษฎีกับผลจากกังหันลมที่ได้มีการสร้างไว้แล้วพบว่าสอดคล้องกันดี และเมื่อใช้ทฤษฎีนี้ไปหาค่า ที่เหมาะสมสำหรับมุมบิดที่ปลายใบและขนาดความโตกองใบ พบร่วางสามารถให้ประสิทธิภาพสูงสุดในทางทฤษฎีได้ถึง 41.46 % ขณะที่กังหันลมตัวเดิมมีประสิทธิภาพอยู่ที่ประมาณ 30.18 % จึงนำไปออกแบบกังหันลมความเร็วต่ำสำหรับใช้ในประเทศไทย ซึ่งในกังหันที่ออกแบบนี้ จะนำไปใช้สร้างเพื่อใช้งานจริงต่อไป

กังหันลม เป็นอุปกรณ์ที่ใช้เปลี่ยนพลังงานลมให้เป็นพลังงานกลโดยไม่ก่อให้เกิดมลพิษ สำหรับนำไปใช้ประโยชน์ในด้านต่างๆ เช่น การสูบน้ำเพื่อการเกษตร และใช้กับเครื่องกำเนิดไฟฟ้า เป็นต้น งานวิจัยนี้เป็นการศึกษาจำนวนใบพัดและมุมตั้งใบพัดที่เหมาะสม เพื่อให้ชุดใบพัดกังหันลมซึ่งมีใบพัดแบบแผ่นเรียบ มีประสิทธิภาพสูงสุด โดยใช้แบบจำลองทางคอมพิวเตอร์ เมื่อปรับเปลี่ยนจำนวนใบพัดและปรับมุมตั้งใบพัด

แบบจำลองทางคอมพิวเตอร์ที่ใช้ในการวิเคราะห์ฯ ค่าสัมประสิทธิ์กำลังงาน และค่าทางอากาศพลศาสตร์ ของกังหันลมได้สร้างจากทฤษฎีโมเมนตัมตามแนวแกนและทฤษฎี อิลิเมนท์ ของใน จากการศึกษาชุดใบพัดกังหันลมที่มีเส้นผ่านศูนย์กลางกังหัน 0.7 เมตร ในพัดเป็นแบบแผ่นเรียบมีความกว้างของใบพัด 0.1 เมตร ความยาวใบพัด 0.2 เมตร หนา 1 มิลลิเมตร ความเร็วลม 3 เมตรต่อวินาที พบร่วาง จำนวนใบพัดที่เหมาะสมสำหรับชุดใบพัดกังหันลมแบบแผ่นเรียบท่ากัน 12 ในพัด และมุมติดตั้งใบพัดที่เหมาะสมเท่ากัน 20 องศา โดยมีค่าสัมประสิทธิ์กำลังงานสูงสุดเท่ากัน 0.29 ที่อัตราส่วนความเร็วลมปลายในประมาณ 1.6

ภคินี คลังนาค [8] ได้ศึกษาการทำงานของกังหันลมชนิดผ้าใบแทนน่อน โดยทำการศึกษารายละเอียดและโครงสร้างจากผู้ใช้และผู้ผลิต ได้ทำการวัดความเร็วลมและ ปริมาณน้ำ เพื่อหาความสัมพันธ์ระหว่างความเร็วลมและอัตราการไหลของน้ำ โดยความเร็วลมเฉลี่ยที่วัดได้มีค่าประมาณ 30 – 50 ลิตรต่อวินาที นำความสัมพันธ์ที่ได้มานแสดงในรูปของกราฟและสมการสูตรท้ายได้ทำการออกแบบและจัดทำแบบจำลองเพื่อใช้ประกอบการศึกษาให้เข้าใจมากยิ่งขึ้น